

теристик, то процесс распространения нейтронов в системе (до поглощения) можно считать инвариантным по отношению к выбору начального момента. В этом случае функцию Грина можно представить в виде  $g(\dots, t, t') = g(\dots, t - t')$ , а характеристики реакторов  $K_i, \Lambda_i, \beta_{mi}$  слабо зависят от времени.

Введем в рассмотрение параметры связи  $K_{ij}^p = K_i \rho_{ij}^p$ ,  $K_{ij}^m = K_i \rho_{ij}^m / \beta_{mj}$ , где  $\rho_{ij}^{p,m} = \int_0^\infty d\tau \rho_{ij}^{p,m}(\tau)$ , характеризующие нейтронное взаимодействие и временные функции  $f_{ij}^{p,m}(\tau) = \rho_{ij}^{p,m}(\tau) / \rho_{ij}^{p,m}$ , характеризующие его интенсивность. Отметим, что при совпадении с точностью до множителя форм-функций  $\Phi_i(\mathbf{r}, \mathbf{v})$  и  $\Phi(\mathbf{r}, \mathbf{v})$  при  $\mathbf{r} \in V_i, i = 1, \dots, N$ , справедливо равенство

$$K_{ij} = K_{ij}^p + \sum_{m=1}^M \beta_{mj} K_{ij}^m. \quad (14)$$

Учитывая, что для интенсивности делений в  $i$ -м реакторе  $A_i(t)$  справедливо соотношение  $A_i(t) = \langle \Sigma_i \tilde{\varphi} \rangle = P_i(t) / \Lambda_i$ , а величина  $\Lambda_i$  слабо зависит от времени, преобразуем уравнения кинетики связанной реакторной системы (11) к виду

$$l_i \frac{dA_i(t)}{dt} = [K_i(1 - \beta_i) - 1] A_i(t) + \sum_m K_i \lambda_m C_{mi}(t) + K_i S_i(t) + \sum_{j=1}^N \left[ K_{ij}^p \int_0^t dt' f_{ij}^p(t-t') A_j(t') + \sum_{m=1}^M K_{ij}^m \int_0^t dt' f_{ij}^m(t-t') \lambda_m C_{mj}(t') \right], \quad (15)$$

где  $l_i = K_i \Lambda_i$  — среднее время жизни нейтронов в  $i$ -м реакторе.

Для преобразования уравнения (8) умножим его на  $\Phi_i^*(\mathbf{r}, \mathbf{v}) \chi_m(\mathbf{v})$  и после интегрирования по объему  $i$ -го реактора и переменной  $\mathbf{v}$ , получим

$$\frac{dC_{mi}(t)}{dt} + \lambda_m C_{mi}(t) = \beta_{mi} A_i(t); \quad m = 1, \dots, M. \quad (16)$$

Отметим, что из формул (15), (16) при  $N = 1$  непосредственно следуют уравнения кинетики реактора с отражателем (замедлителем) нейтронов, а широко известная модель Кона [5] является их частным случаем.

**Условия применимости одноточечного приближения.** Согласно публикации [4], одноточечное приближение справедливо, если форм-функция не изменяется со временем.

В точечном приближении это условие эквивалентно равенству

$$A_i(t) = A_i A(t), \quad i = 1, \dots, N. \quad (17)$$

Здесь  $A_i$  — форм-функция;  $A(t)$  — амплитудная функция системы в точечном приближении. Для выполнения условия (17) необходимо, чтобы локальные возмущения плотности потока нейтронов в системе затухали гораздо быстрее характерного времени  $\theta$  изменения амплитудной функции  $A(t)$ . В точечном приближении это означает, что функции  $f_{ij}^{p,m}(\tau)$  должны затухать за время  $\tau_{ij}^{p,m} \ll \theta$ .

Рассмотрим теперь систему связанных реакторов, значения  $K, K_i$  в которой изменяются со временем настолько медленно, что  $\tau_{ij}^{p,m} \ll \theta$ , а независимые источники нейтронов отсутствуют. Можно считать, что в такой системе в каждый момент реализуется распределение плотности потока нейтронов  $\Phi(\mathbf{r}, \mathbf{v}, t)$ , соответствующее условно-критической задаче (1), в которой время является независимым параметром. В этом случае для исследования поведения форм-функций рассматриваемой системы во времени удобно использовать условно-критическое уравнение в точечном приближении (4).

Ограничимся для простоты рассмотрением случая с  $N = 2$ . Предположив, что в уравнении (4)  $K_i(t) = K_i^0 + \delta K_i(t)$ , где  $K_i^0 = K_i(t=0), K(t=0) = 1, i = 1, 2$ , получим, что отношение  $A_2(t)/A_1(t)$ , а следовательно, и форм-функция системы не зависят от времени, если разность  $\delta K_2(t) - \delta K_1(t)$  пренебрежимо мала. Оставляя в выражении для  $A_2(t)/A_1(t)$  лишь линейные по  $\delta K_2(t) - \delta K_1(t)$  члены, получим соотношение

$$\frac{A_2(t)}{A_1(t)} \approx \frac{|K_1^0 + K_{11} - 1|}{K_{12}} \times \left[ 1 + \frac{\delta K_2(t) - \delta K_1(t)}{|K_1^0 + K_{11} - 1| + |K_2^0 + K_{22} - 1|} \right], \quad (18)$$

из которого следует, что условием применимости одноточечного приближения для системы двух связанных реакторов при  $\tau_{ij}^{p,m} \ll \theta$  можно считать неравенство

$$\max_t \frac{|\delta K_2(t) - \delta K_1(t)|}{|K_1^0 + K_{11} - 1| + |K_2^0 + K_{22} - 1|} \ll 1. \quad (19)$$

СПИСОК ЛИТЕРАТУРЫ

1. Эйвери Р. — В кн.: Труды II Женевск. конф. Избр. докл. иностр. ученых. Т. 3. М., Атомиздат, 1958, с. 321.
2. Plaza H., Köhler W. — Nucl. Sci. Engng, 1966, v. 26, N 3, p. 419.
3. Bellini-Morante A. — Nukleonik, 1967, v. 10, N 4, p. 217.
4. Хетрик Д. Динамика ядерных реакторов. М., Атомиздат, 1975.
5. Cohn C. — Nucl. Sci. Engng, 1962, v. 13, N 1, p. 12.

Поступило в Редакцию 23.07.79

УДК 621.039.54; 539.3

## Исследования анизотропии коэффициента теплового расширения оболочек твэлов из сплава Zr—1% Nb

СОЛЯНЫЙ В. И., БУТРА Ф. П., КОНЕВ В. Н., ЛЫСЕНКО А. И., ЯМНИКОВ В. С.

Совершенствование и оптимизация конструкций твэлов реакторов ВВЭР и РБМК требуют все большего углубления и детализации в изучении свойств материалов оболочек, в частности сплава Zr—1% Nb, и учета их особенностей.

Одна из основных физических характеристик материала, определяющая уровень термоупругих напряжений

в оболочке, — коэффициент теплового расширения (КТР). Поскольку гексагональная решетка  $\alpha$ -Zr анизотропна [1] в отношении теплового расширения (рис. 1), появление текстуры, зависящей от технологии изготовления и термомеханической обработки оболочек из сплава Zr—1% Nb приводит к анизотропии теплового расширения оболочки,

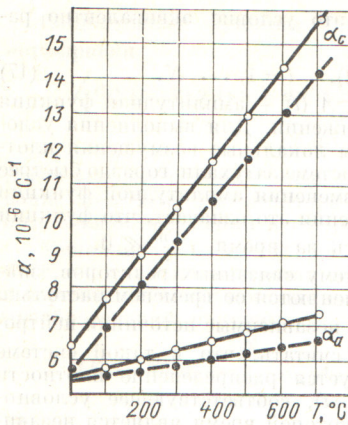


Рис. 1. Коэффициент теплового расширения (истинный)  $\alpha$ -Zr для различных кристаллографических направлений в зависимости от температуры (○, ● — содержание примесей Hf менее 0,005 и менее 1,2 ат. % соответственно)

которое теперь должно описываться тензором второго ранга, а не скалярной величиной. В этом случае, как отмечалось [2], даже равномерный нагрев может вызывать значительные термоупругие напряжения. В связи с этим был исследован КТР материала труб-оболочек твэлов ВВЭР диаметром 9,15 × 0,65 мм и РБМК диаметром 13,65 × 0,9 мм и оценено влияние анизотропии КТР на термоупругие напряжения в оболочках твэлов.

**Определение текстуры оболочек твэлов ВВЭР и РБМК.** Рентгеноструктурные исследования в целях выявления текстуры проводили на пластинчатых образцах на аппарате ДРОН-2 с применением Си — К-излучения по известной методике [3]. Образцы вырезали из труб и распрямляли до плоского состояния. Дифрактограмму поверхности с нормалью  $r$  получали непосредственно с плоскости образца, а поверхностей с нормалью  $\theta$  или  $z$  — с торцов пакета из 10 таких плоских образцов (рис. 2).

Площади максимумов плоскостей (10 $\bar{1}0$ ), (0002), (10 $\bar{1}1$ ), (11 $\bar{2}0$ ) на дифрактограммах сравнивали с соответствующими площадями максимумов порошковой дифрактограммы. Результаты расчета текстуры приведены в табл. 1.

Как видно из табл. 1, все трубы имеют однофазную текстуру, плоскости (0001) расположены преимущественно параллельно, а (10 $\bar{1}0$ ) и (11 $\bar{2}0$ ) — преимущественно перпендикулярно оси  $z$ .

**Определение КТР оболочек.** Измерения проводили при помощи высокочувствительного вакуумного оптического dilatометра в трех взаимно перпендикулярных направлениях на образцах, изображенных на рис. 3. Скорость нагрева — 4,5 град/мин.

Погрешность определения КТР до температуры 200 °C составляла  $\pm 10\%$ , а при более высоких температурах  $\pm 5-7\%$ .

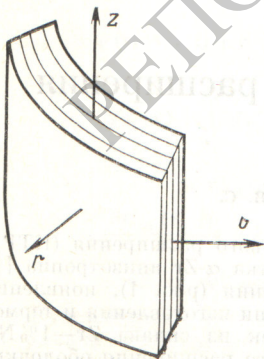


Рис. 2. Вид образца для рентгеноструктурного анализа

Таблица 1

Относительные веса полюсов плоскостей в координатных направлениях  $r$ ,  $\theta$  и  $z$

Плоскость	Нормаль координатной поверхности					
	$r$			$\theta$		
	$r$	$\theta$	$z$	$r$	$\theta$	$z$
	оболочка РБМК диаметром 13,6 мм			оболочка ВВЭР диаметром 9,15 мм		
(10 $\bar{1}0$ )	0,55	0,56	2,59	0,76	0,58	1,69
(0002)	2,96	1,93	0,69	2,17	2,30	0,73
(11 $\bar{2}0$ )	0,33	0,45	2,48	0,48	0,66	1,26
(10 $\bar{1}1$ )	0,69	0,93	0,57	0,77	0,82	0,86

По данным табл. 2 наибольшие значения КТР наблюдаются по направлениям  $r$  и  $\theta$ . Это согласуется с результатами рентгеноструктурного анализа и тем, что при температуре 300—500 °C КТР по оси [0001] примерно в 1,5—2 раза больше, чем в перпендикулярной к ней плоскости базиса (см. рис. 1).

**Определение термоупругих напряжений в анизотропных цилиндрических оболочках.** Рассмотрим цилиндрическую оболочку, которая находится под воздействием осесимметричного температурного поля  $T = f(r)$  и имеет наиболее распространенный вид симметричного строения анизотропных материалов, а именно: три плоскости упругой симметрии. Тогда в цилиндрической системе координат ( $r, \theta, z$ ), если плоскости упругой симметрии совпадают с координатными плоскостями, в силу симметрии недиагональные элементы тензора напряжений  $\sigma_{ih}$  и тензора деформаций  $\varepsilon_{ih}$  равны нулю, а диагональные зависят только от цилиндрической координаты  $r$ , причем  $\varepsilon_{zz} = \text{const}$ .

В условиях неравномерного нагрева и изменения констант материала в зависимости от температуры расчет напряженно-деформированного состояния анизотропных оболочек — сложная задача, для решения которой обычно используют приближенные численные методы.

Однако данная задача может быть решена аналитически по известной [4] схеме для изотропных оболочек при следующих упрощающих допущениях: 1) анизотропия констант упругости незначительна по сравнению с анизотропией КТР; 2) константы материала слабо зависят от температуры, и их значения определяются при средней температуре сечения; 3) перепад температуры по сечению незначителен по сравнению со средней абсолютной температурой сечения.

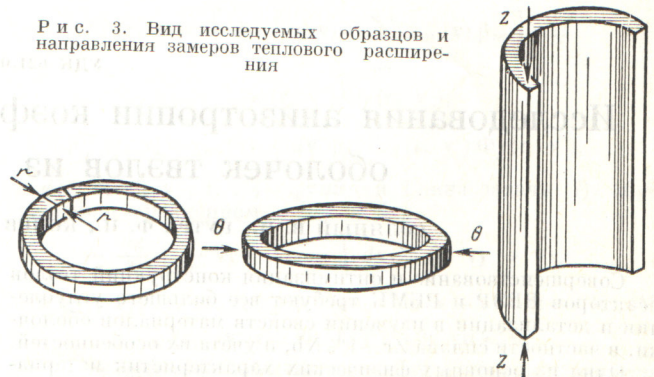


Рис. 3. Вид исследуемых образцов и направления замеров теплового расширения

Таблица 2

Усредненные значения КТР по координатным направлениям оболочек твэлов ВВЭР (числитель) и РБМК (знаменатель)

Координатное направление	Среднее значение КТР в интервале 20 — ... °С, 10 <sup>-6</sup> град <sup>-1</sup>							
	150	200	250	300	350	400	450	500
z	5,3	5,4	5,6	5,3	5,5	5,2	5,1	5,0
	5,4	5,0	5,2	5,1	5,1	4,9	4,8	4,7
θ	5,4	6,3	6,2	6,9	6,2	6,1	5,8	5,8
	5,9	6,4	6,6	6,6	6,7	6,6	6,6	6,5
r	6,4	6,6	6,7	6,9	6,9	7,0	7,2	6,9
	7,5	7,0	7,0	7,0	6,9	6,9	7,0	7,0

Таблица 3

Исходные данные для расчета термоупругих напряжений

Параметр	Твэл ВВЭР-1000	Твэл РБМК-1500
a, см	0,3945	0,5937
b, см	0,455	0,6762
ΔT, °С	68	62
T, °С	384	335
E, МПа	7,1·10 <sup>4</sup>	7,3·10 <sup>4</sup>
μ, отн. ед.	0,38	0,38

Аналитическое решение при указанных допущениях для распределения температуры в оболочке

$$T = T_b - \frac{T_b - T_a}{\ln b/a} \ln b/r,$$

соответствующего реальному распределению в твэле, имеет вид

$$\sigma_{rr} = \frac{E\bar{T}(\alpha_{rr} - \alpha_{00})}{2(1-\mu^2)} \left[ \ln \frac{r}{a} - \frac{b^2}{b^2-a^2} \times \left( 1 - \frac{a^2}{r^2} \right) \ln \frac{b}{a} \right] + \frac{E\Delta T}{2(1-\mu)(\ln b/a)} \frac{1-2\mu}{1+\mu} \bar{\alpha}_{rr} \times \left[ -\ln \frac{b}{r} - \frac{a^2}{b^2-a^2} \left( 1 - \frac{b^2}{r^2} \right) \ln \frac{b}{a} \right]; \quad (1)$$

$$\sigma_{\theta\theta} = \frac{E\bar{T}(\alpha_{rr} - \alpha_{00})}{2(1-\mu^2)} \left[ 1 + \ln \frac{r}{a} - \frac{b^2}{b^2-a^2} \times \left( 1 + \frac{a^2}{r^2} \right) \ln \frac{b}{a} \right] + \frac{E\Delta T}{2(1-\mu)(\ln b/a)} \frac{1-2\mu}{1+\mu} \bar{\alpha}_{rr} \times \left[ 1 - \ln \frac{b}{r} - \frac{a^2}{b^2-a^2} \left( 1 + \frac{b^2}{r^2} \right) \ln \frac{b}{a} \right]; \quad (2)$$

$$\sigma_{zz} = \frac{E\mu\bar{T}(\alpha_{rr} - \alpha_{00})}{2(1-\mu^2)} \left[ 1 + 2 \ln \frac{r}{a} - \frac{2b^2}{b^2-a^2} \ln \frac{b}{a} \right] + \frac{E\Delta T}{2(1+\mu)(\ln b/a)} \left( \alpha_{zz} - \frac{\mu}{1-\mu} \bar{\alpha}_{rr} \right) \times \left[ 1 - 2 \ln \frac{b}{r} - \frac{2a^2}{b^2-a^2} \ln \frac{b}{a} \right], \quad (3)$$

где r — текущий радиус оболочки; a, b — внутренний и наружный радиусы оболочки соответственно; σ<sub>rr</sub>, σ<sub>θθ</sub>, σ<sub>zz</sub> — главные напряжения в радиальном, окружном и осевом направлениях соответственно; T<sub>b</sub>, T<sub>a</sub> — температура наружной и внутренней поверхностей оболочки соответственно; ΔT = T<sub>b</sub> - T<sub>a</sub> — перепад температуры по толщине стенки оболочки;  $\bar{T} = (T_b + T_a)/2$  — средняя температура по толщине стенки оболочки; E — модуль Юнга материала оболочки; μ — коэффициент Пуассона материала оболочки; α<sub>rr</sub>, α<sub>θθ</sub>, α<sub>zz</sub> — коэффициенты теплового расширения вдоль координатных направлений r, θ и z соответственно;

$$\bar{\alpha}_{rr} = \alpha_{rr} + \frac{\mu}{1-2\mu} (\alpha_{rr} + \alpha_{00} + \alpha_{zz});$$

$$\bar{\alpha}_{zz} = \alpha_{zz} + \frac{\mu}{1-2\mu} (\alpha_{rr} + \alpha_{00} + \alpha_{zz}).$$

Оценка влияния анизотропии КТР на термоупругие напряжения в оболочках твэлов ВВЭР-1000 и РБМК-1500. Для оценки был проведен сравнительный расчет термоупругих напряжений в оболочках твэлов ВВЭР-1000 и РБМК-1500 для анизотропного и изотропного случаев. Исходные данные для расчетов приведены в табл. 3. КТР для анизотропного случая был взят из табл. 2, а для изотропного принят равным 5,1·10<sup>-6</sup> К<sup>-1</sup>. Эпюры действующих напряжений приведены на рис. 4.

Как следует из полученных результатов, анизотропия КТР в условиях эксплуатации существенно влияет на значения термоупругих напряжений в оболочках твэлов ВВЭР-1000 и РБМК-1500. Учет ее привел к окружным напряжениям, в 1,3—1,5 раза превышающим напряжения для изотропного случая. Однако следует отметить, что в осевом направлении напряжения различаются незначительно.

СПИСОК ЛИТЕРАТУРЫ

1. McGeary R. Report WAPD-36 (1951).
2. Лихачев В. А. — Физ. металлов и металловедение, 1961, № 12, с. 762.
3. Кудряшов Ю. М. и др. — In: Symp. on Water Reactor Fuel Element Fabrication with Special Emphasis on its Effect on Fuel Performance, 6—10 Nov. 1978, Prague, CSSR. IAEA-SM-233/49.
4. Тимошенко С. П. Сопротивление материалов. Т. 2. М., Гостехиздат, 1947.

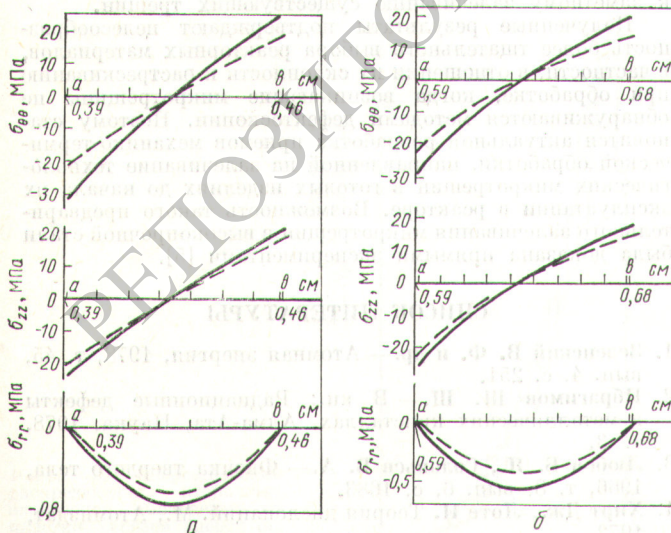


Рис. 4. Эпюры действующих тепловых напряжений в оболочках твэлов ВВЭР-1000 (а) и РБМК-1500 (б): — анизотропия КТР; - - - - - изотропия КТР